

ацетоне 0,04—0,07) — 25—30°. Вышеуказанные полимеры стабильны к действию органических растворителей. Экстракция растворителями была применена для дополнительной очистки сополимеров от низкомолекулярных продуктов (составляющих 10—20 вес. %). Термостойкость полимеров после обработки растворителями, определенная по потере веса в вакууме (10^{-3} мм), равна 400—420°.

Выходы

Проведен синтез спицых перфторалкилентриазиновых полимеров на основе C_2-C_7 -перфторалкиламидинов.

Показано, что, начиная с C_4 -амидина, величина перфторалкильного заместителя практически не влияет на условия получения низкомолекулярных и высокомолекулярных спицых полимеров и на их свойства.

Установлена возможность спшивания низкомолекулярных полимеров перфторглутароимидином.

ЛИТЕРАТУРА

1. М. М. Котон, Пласт. массы, 1964, № 11, 1; Успехи химии, 31, 153, 1962.
2. Н. С. Brown, J. Polymer Sci., 44, 9, 1960.
3. Н. С. Brown, Пат. США 3086946, 1960, Chem. Abstrs, 59, 9813, 1963.
4. Chem. Week., 1964, № 5, 35.
5. М. П. Красуская, И. Л. Куняин, Авт. свид. 145748, 1961; Бюлл. изобретений, 1962, № 6, 51.
6. W. L. Reilly, N. C. Brown, J. Amer. Chem. Soc., 78, 6032, 1956.
7. D. R. Husted, пат. США 2676985, 1954; Chem. Abstrs, 49, 5511, 1956.
8. E. T. McBee, P. A. Wiseman, Industr. and Engng Chem., 39, 485, 1947.
9. E. T. McBee, P. A. Wiseman, пат. США 2515246, 1960; Chem. Abstrs, 44, 9475, 1950.
10. E. T. McBee, P. A. Wiseman, пат. США 2554786, 1954; Chem. Abstrs, 45, 9555, 1951.
11. И. М. Долгопольский, Г. Б. Федорова, Авт. свид. 147183, 1962; Бюлл. изобретений, 1962, № 10, 24.
12. D. C. Remy, пат. США 3061590, 1962; Chem. Abstrs, 58, 8057, 1963.

УДК 678.01:53

«КОНДЕНСАЦИЯ» ПОЛИМЕРНОГО РАСТВОРА

А. А. Берлин, А. А. Саядян, Н. С. Ениколопян

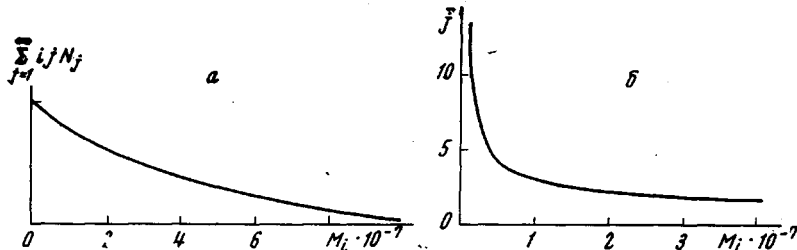
В работе [1] нами было рассмотрено влияние особенностей полимерного состояния макромолекул в растворах на термодинамику и кинетику химических реакций. На основании термодинамического анализа был сделан вывод о влиянии длины полимерной молекулы на ее реакционную способность. Кроме того, теоретически предсказаны некоторые критические явления, появляющиеся при реакциях, протекающих с изменением молекулярно-весового распределения полимера. Остановимся здесь еще на одном таком эффекте.

Рассмотрим поведение разбавленного раствора полимера, макромолекулы которого способны равновесно соединяться с помощью химических связей или каких-либо других межмолекулярных сил. Пусть при этом образуются объединенные полимерные клубки, подчиняющиеся тем же статистическим законам, что и сами полимерные молекулы. Пусть степень полимеризации исходного полимера i , начальное количество полимерных молекул N_0 , количество клубков в растворе, содержащих 1, 2, 3 и т. д. по-

лимерных молекул, $N_1, N_2, N_3\dots$ соответственно. Тогда свободная энергия клубка, состоящего из j макромолекул, равна:

$$F_j = F_0 + (j - 1)F_x + ijF_1 + \Delta F(ij),$$

где F_1 — свободная энергия звена, F_0, F_x — возмущения свободной энергии, обусловленные концевыми группами и вновь образованными связями, $\Delta F(ij)$ — свободная энергия смешения сегментов клубка с молекулами



Зависимость критической концентрации полимера (а) и средней степени ассоциации полимерных молекул в критической точке (б) от молекулярного веса исходного полимера. Расчет проведен для системы полистирол — бензол ($\alpha = 0,492 M^{0.086}$ [2])

растворителя и изменение конформационной энтропии при набухании клубка. Согласно решетчатой модели раствора полимера

$$\Delta F_{ij} = kT \left[\frac{v_s}{v_1} (\mu - 1) Z_{ij} + \frac{5}{2} (\alpha^2 - 1) - \ln \alpha^3 \right],$$

где v_s, v_1 — молекулярные объемы сегмента и растворителя, Z_{ij} — количество сегментов в клубке, α — степень набухания клубка. Свободная энергия раствора без учета взаимодействий клубков друг с другом равна

$$F = \sum_{j=1}^{\infty} N_j F_j + kT \sum_{j=1}^{\infty} N_j \ln N_j$$

Для определения $N_1, N_2\dots$ в равновесии найдем методом Лагранжа минимум свободной энергии при условии:

$$\sum_{j=1}^{\infty} jN_j = N_0 = \text{const} \quad (1)$$

Получаем выражение для количества клубков, содержащих j макромолекул:

$$N_j = \exp \left(-\frac{F_j}{kT} - \gamma \cdot j \right) = \exp \left[\frac{F_x - F_0}{kT} - \frac{\Delta F(ij)}{kT} - \left(\frac{F_x + iF_1}{kT} + \gamma \right) j \right] \quad (2)$$

Однако свободная энергия имеет минимум не при любых условиях (1). При концентрации полимера (iN_0) больше некоторой критической величины выражение (2) не удовлетворяет условию (1) ни при каких значениях параметра γ . Критическую концентрацию полимера можно найти,

$$\text{положив } \gamma + \frac{F_x}{kT} + \frac{v_s}{v_1} (\mu - 1) Z_i + \frac{iF_1}{kT} = 0$$

Тогда

$$\sum_{j=1}^{\infty} ijN_j = c_{kp} = \exp \left(\frac{F_x - F_0}{kT} \right) \sum_{j=1}^{\infty} ij \exp \left[-\frac{5}{2} (\alpha^2 - 1) + \ln \alpha^3 \right]$$

Значения параметра $\gamma > -\frac{F_x}{kT} - \frac{v_s}{v_1}(\mu-1)Z_t - \frac{iF_1}{kT}$ соответствуют меньшей концентрации полимера, а при $\gamma < -\frac{F_x}{kT} - \frac{v_s}{v_1}(\mu-1)Z_t - \frac{iF_1}{kT}$ выражение (2)

не является искомым решением, так как сумма $\sum_{j=1}^{\infty} jN_j$ расходится. Таким образом, при концентрациях полимера выше критической раствор полимера, в котором макромолекулы способны равновесно соединяться, становится нестабильным. Анализ показывает [1], что при этом должен происходить рост больших клубков за счет уменьшения малых. Величина критической концентрации полимера зависит от ряда факторов и, в первую очередь, от термодинамических характеристик растворителя [$\Delta F(ij)$]. В плохом растворителе и в θ -точке раствор стабилен при любых концентрациях полимера ($c_{kp} = \infty$). В данном случае речь идет не о стабильности по отношению к выпадению полимера в отдельную фазу, а о стабильности по отношению к объединению клубков с образованием больших растворенных клубков. В хорошем растворителе критическая концентрация существует ($c_{kp} < \infty$) и тем меньше, чем прочнее связь между полимерными молекулами (меньше F_x) и чем лучше растворитель (сильнее зависимость α от M и $\Delta F(ij)$ от M). В последнем случае быстрее сходится сумма

$$\sum_{j=1}^{\infty} ij \exp \left[-\frac{5}{2} (\alpha^2 - 1) + \ln \alpha^3 \right].$$

Критическая концентрация, кроме того, при больших значениях молекулярного веса исходных макромолекул уменьшается при увеличении последнего. На рисунке, *a* приведена зависимость суммы $\sum_{j=1}^{\infty} ijN_j$ от молекулярного веса исходного полимера (M_i). Степень ассоциации полимерных молекул, выше которой нарушается стабильность раствора, т. е. средняя величина $\bar{j}_{kp} = \left(\frac{\sum_j N_j}{\sum N_j} \right)_{kp}$ при критической концентрации полимера, уменьшается с ростом молекулярного веса исходного полимера (рисунок, *b*) и достигает значений порядка нескольких единиц при величине молекулярного веса исходного полимера $\sim 10^7$. При расчете для зависимости коэффициента набухания от молекулярного веса использована формула для системы полистирол — бензол $\alpha = 0,492 M^{0,086}$ [2]. Уточнение выражения для свободной энергии смешения полимерных сегментов с растворителем (учет последующих членов в разложении свободной энергии смешения по концентрации сегментов) не меняет качественной картины явления. До сих пор мы не учитывали межмолекулярные взаимодействия полимерных клубков друг с другом. При увеличении концентрации полимера появляются межмолекулярные взаимодействия, что должно приводить, по-видимому, к увеличению критической концентрации (в концентрированном растворе критические явления такого рода отсутствуют [1]). Таким образом, может оказаться, что при некоторых условиях появление межмолекулярных взаимодействий приведет к исчезновению критического явления. С другой стороны, увеличение размеров полимерных клубков при их объединении также приводит к появлению межмолекулярных взаимодействий и может привести к прекращению процесса объединения клубков на определенной стадии. Более строгий анализ влияния межмолекулярных взаимодействий требует количественных теоретических расчетов.

Таким образом, термодинамический анализ поведения раствора полимера, молекулы которого способны объединяться в более крупные клубки,

приводит к выводу о возможности при некоторых условиях объединения полимерных клубков в один растворенный полимерный клубок. Этот процесс может быть назван «конденсацией» полимерного раствора.

Выводы

1. На основании термодинамического анализа разбавленного раствора полимера, молекулы которого способны равновесно соединяться друг с другом, предсказано существование критической концентрации полимера, выше которой полимерные клубки стремятся к объединению в один клубок («конденсация» раствора полимера).

2. Критическая концентрация и средняя степень ассоциации полимерных молекул в критической точке зависят от термодинамических характеристик растворителя и уменьшаются при увеличении молекулярного веса исходного полимера.

Институт химической физики
АН СССР

Поступила в редакцию
22 XI 1968

ЛИТЕРАТУРА

1. А. А. Берлин, А. А. Саядян, Н. С. Ениколопян, Высокомолек. соед., А11, 1893, 1969.
2. Ч. Тейфорд, Физическая химия полимеров, изд-во «Химия», 1965.

УДК 535.377:678.742

РАДИОТЕРМОЛЮМИНЕСЦЕНЦИЯ ПЛЕНОК ПОЛИЭТИЛЕНА ПОД НАГРУЗКОЙ

В. Г. Никольский, Д. Н. Сапожников, В. А. Точин

Известно, что радиотермолюминесценция (РТЛ) органических веществ тесно связана с процессами молекулярной подвижности [1]. Это привело к созданию чувствительного метода исследования структурных переходов в органических веществах — метода РТЛ.

В настоящей работе мы попытались применить данный метод для изучения молекулярной подвижности полимеров в условиях одноосного растяжения, в частности, для изучения вынужденной высокояластичности. В качестве модельной системы выбран полиэтилен высокого давления (ПЭВД), РТЛ которого в отсутствие силового поля подробно исследована ранее [1—3].

Методика

Исследовали пленки ПЭВД толщиной 0,1 мм. Образцы шириной 10 мм укрепляли в раздвижной кассете с расстоянием между зажимами 24 мм. Облучение образцов производили γ -лучами Co^{60} , либо в вакууме 10^{-2} мм, либо на воздухе при 77° К. Доза облучения составляла 1 Мрад.

Установка для исследования люминесценции пленок под нагрузкой изображена схематически на рис. 1. Она состоит из трех основных частей: электрофотометра (1—4), криостата (7—9) и устройства для регистрации деформации образца (11, 12). Кассета (6) с образцом (5) помещается в металлический блок (7), охлажденный до 77° К. К подвижной части кассеты крепится груз (13), а затем производится нагревание образца со скоростью 10 град./мин. Температура образца регистрируется термопарой медь — константан с точностью 1°. Свет, испускаемый центральной частью образца, попадает через светопровод (4) на катод фотоумножителя ФЭУ-19 (1). Ток фотоумножителя после усиления регистрируется на ЭПП-09 с постоянной времени 1 сек.

Удлинение образца регистрировали по положению изображения иглы на экране, отстоящем на 1000 мм от объектива (12) с фокусным расстоянием 50 мм. Точность измерения относительного удлинения составляла 0,3%.